

PARALLEL SERIES

FIG. 1

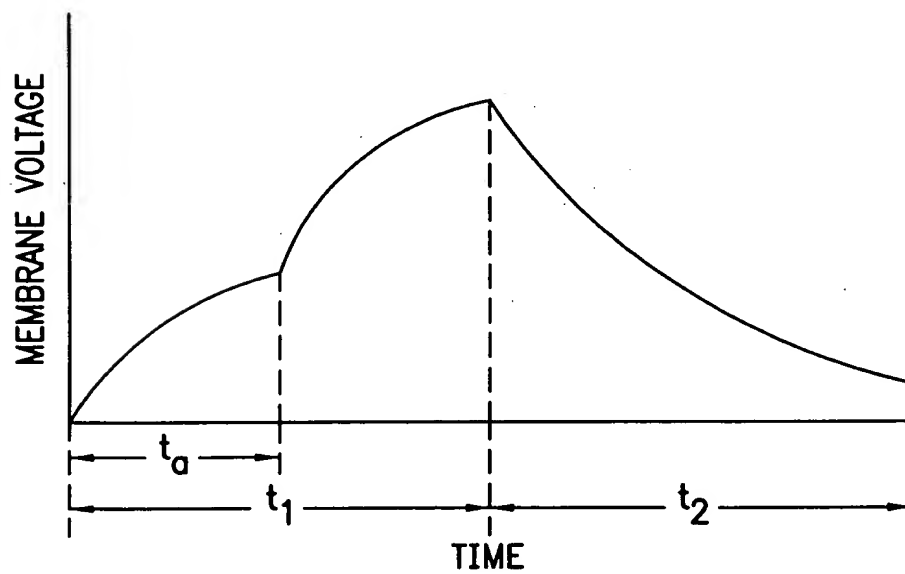
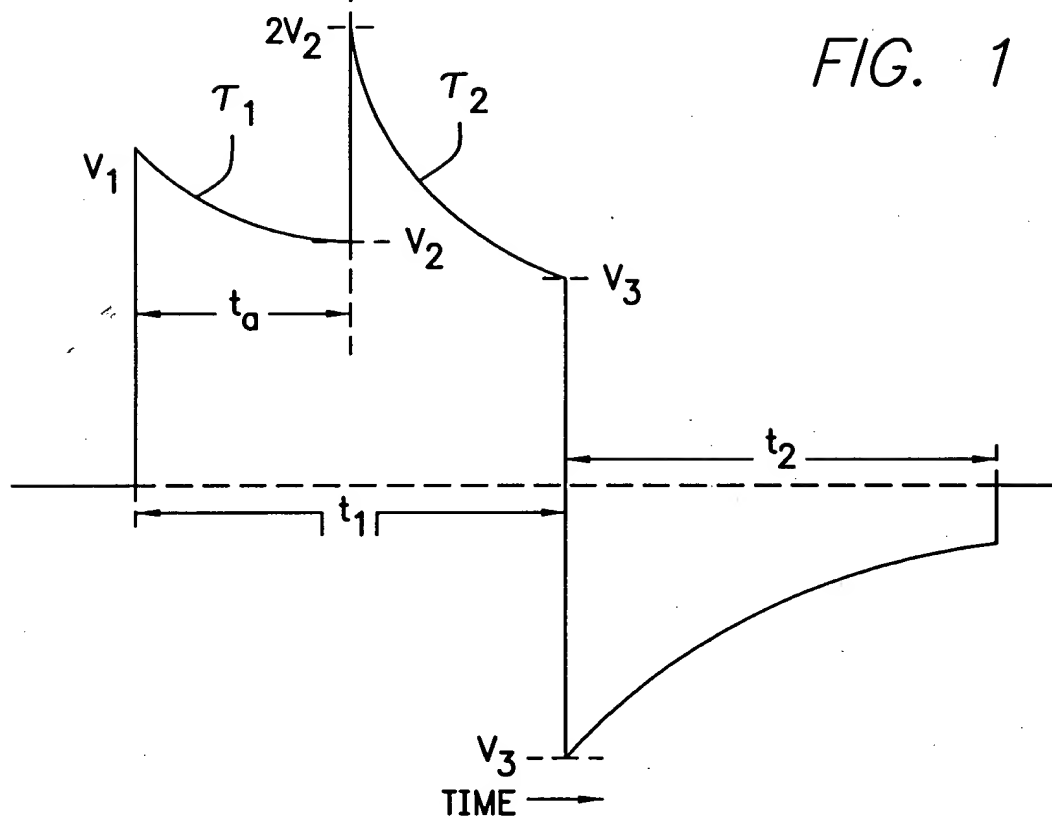
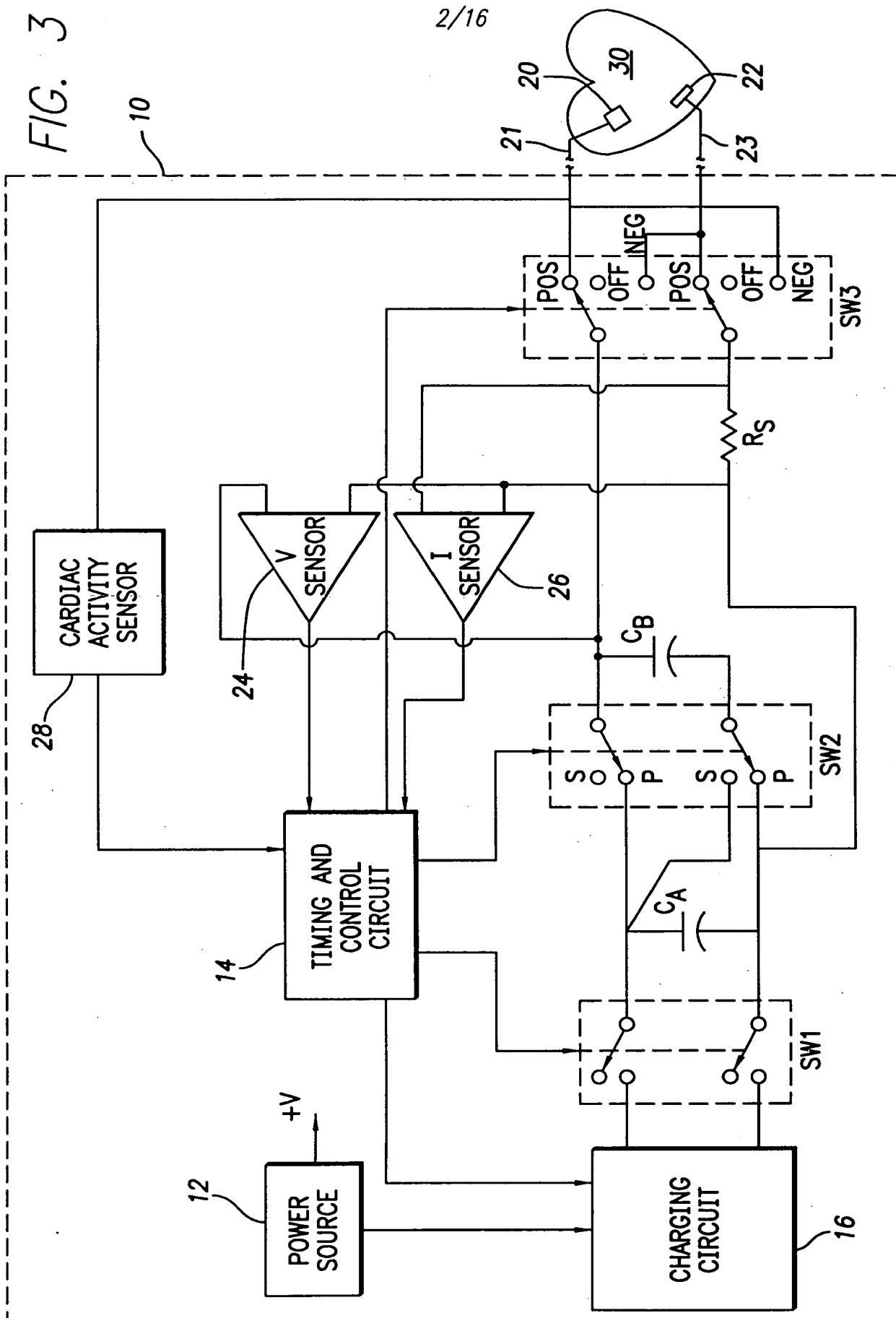


FIG. 2



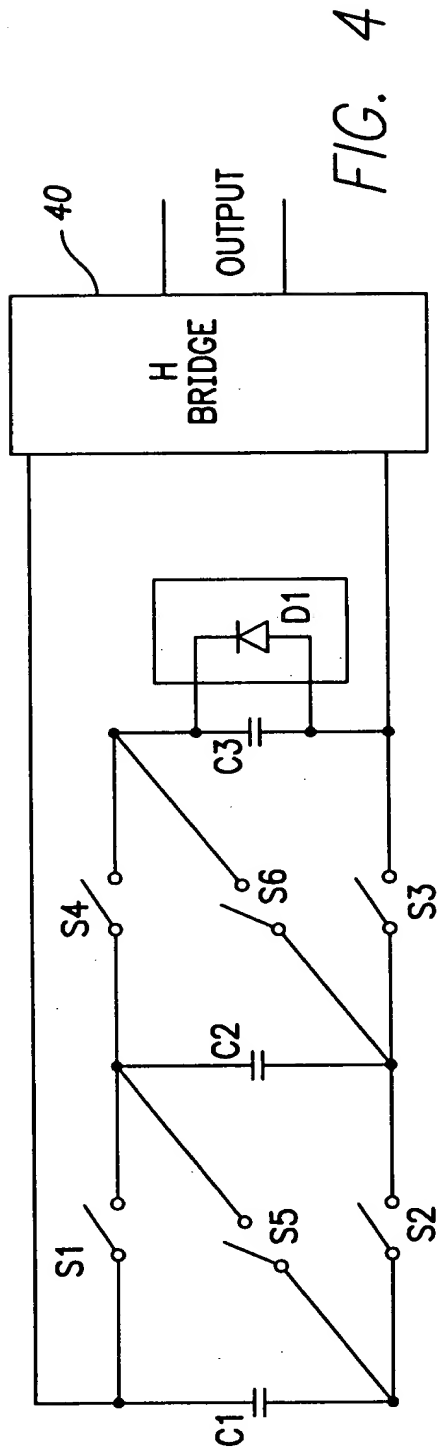


FIG. 4

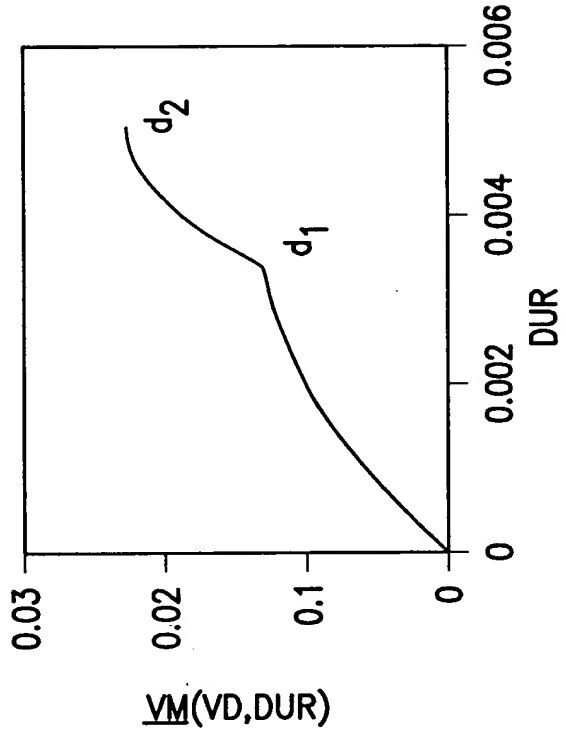


FIG. 6

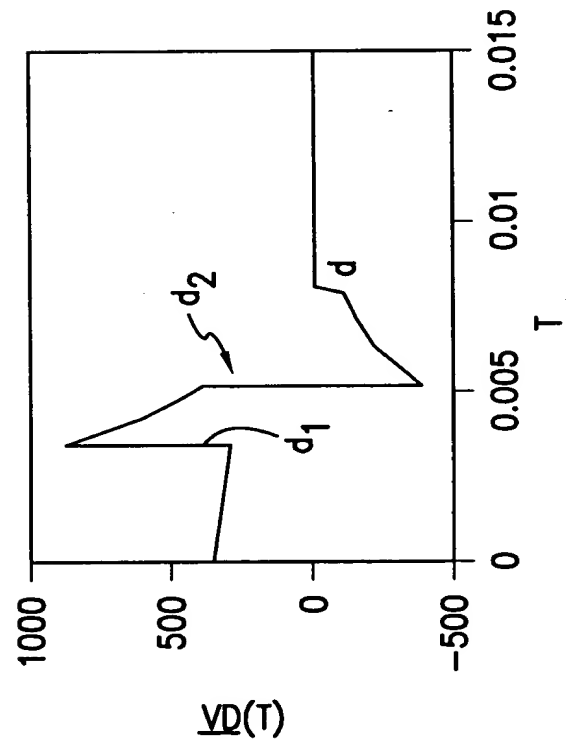


FIG. 5

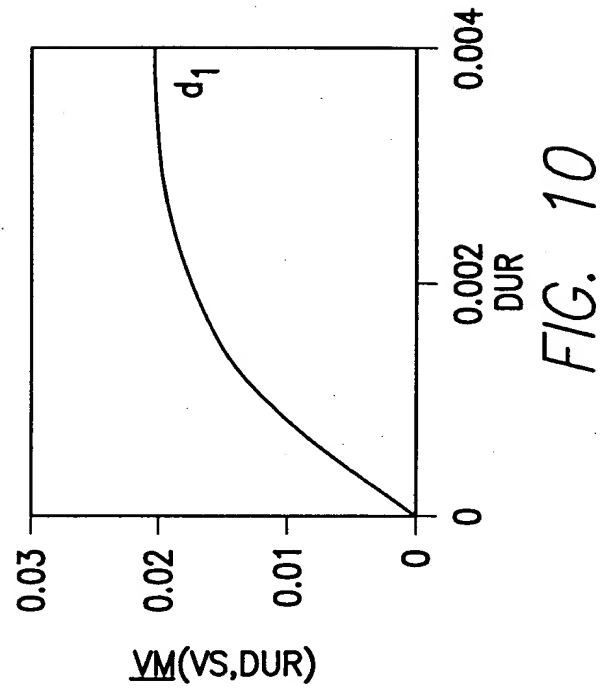
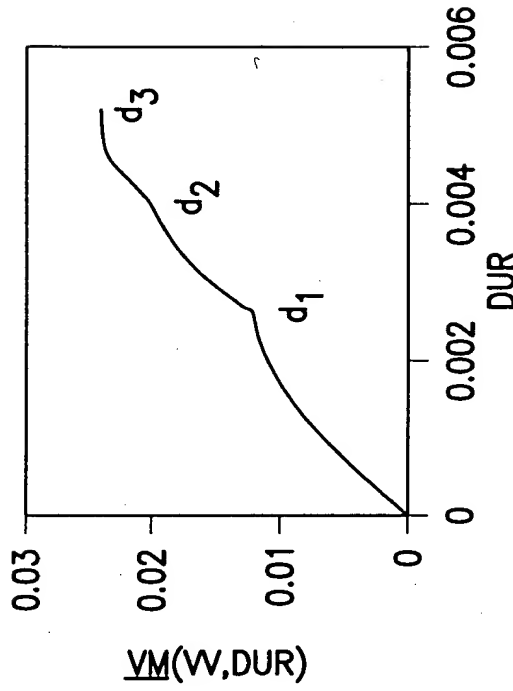
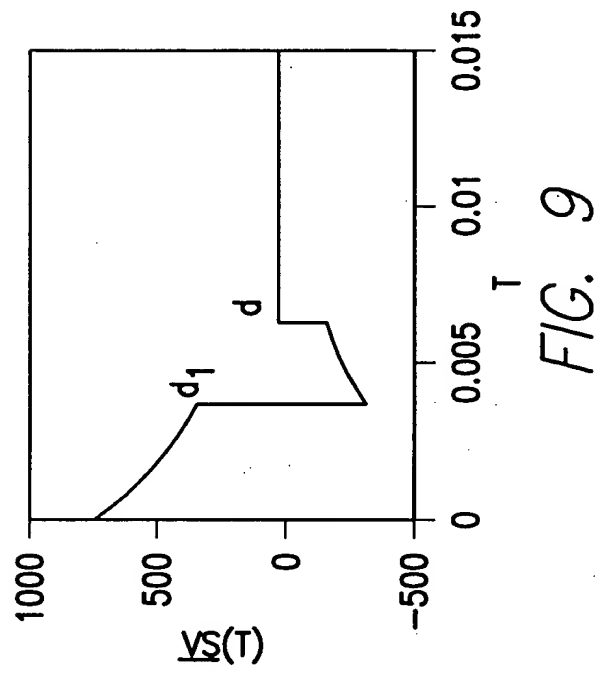
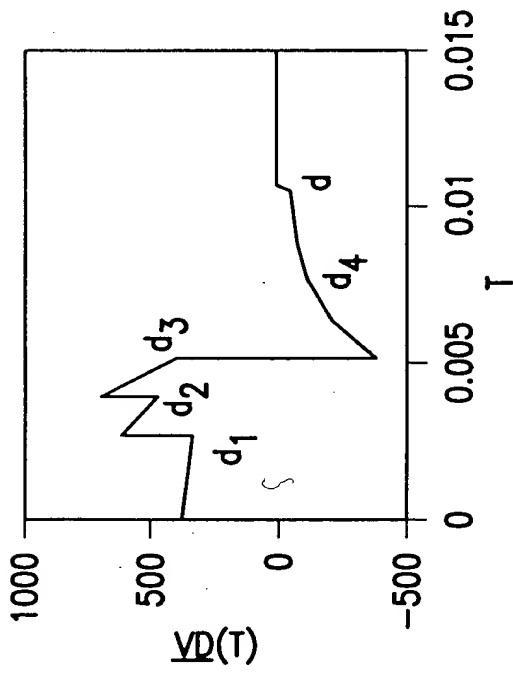


FIG. 11

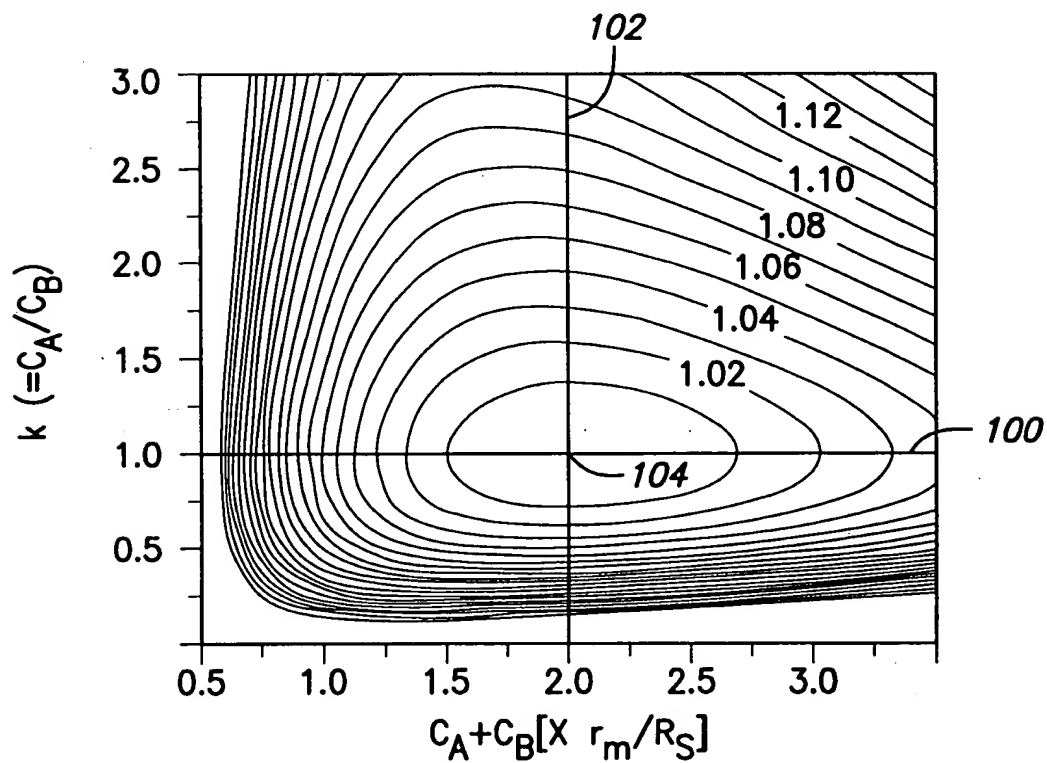
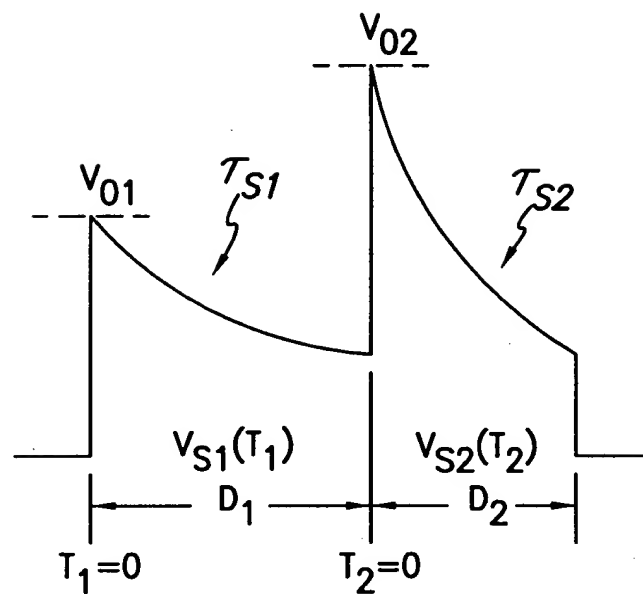


FIG. 12

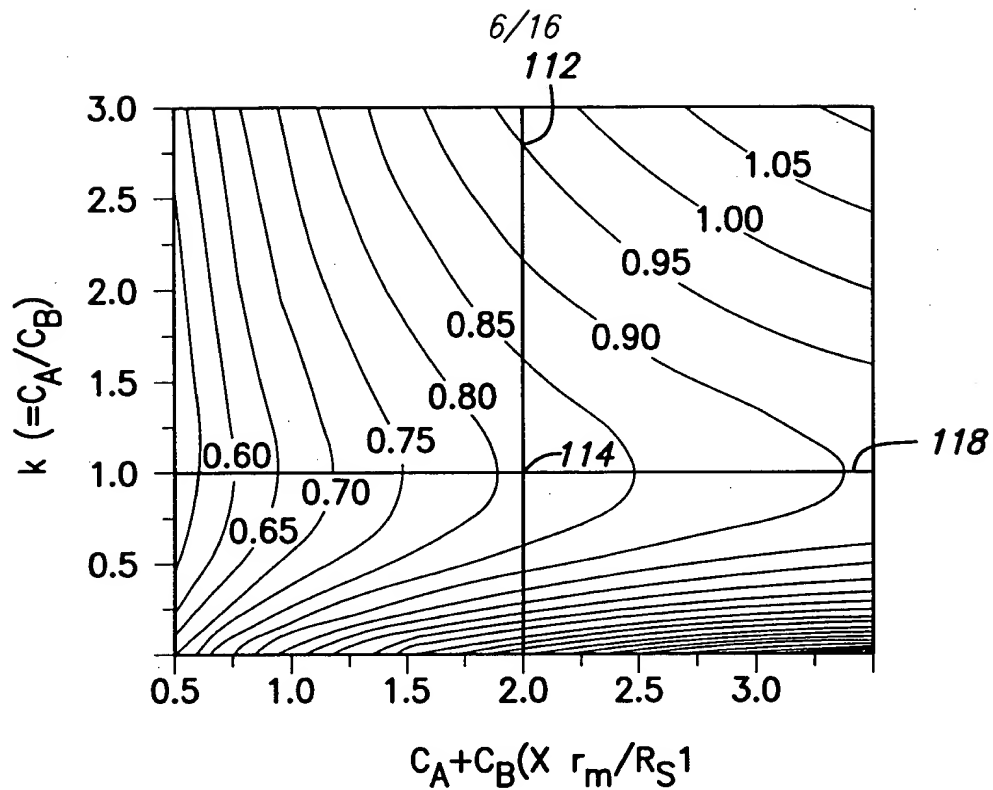


FIG. 13

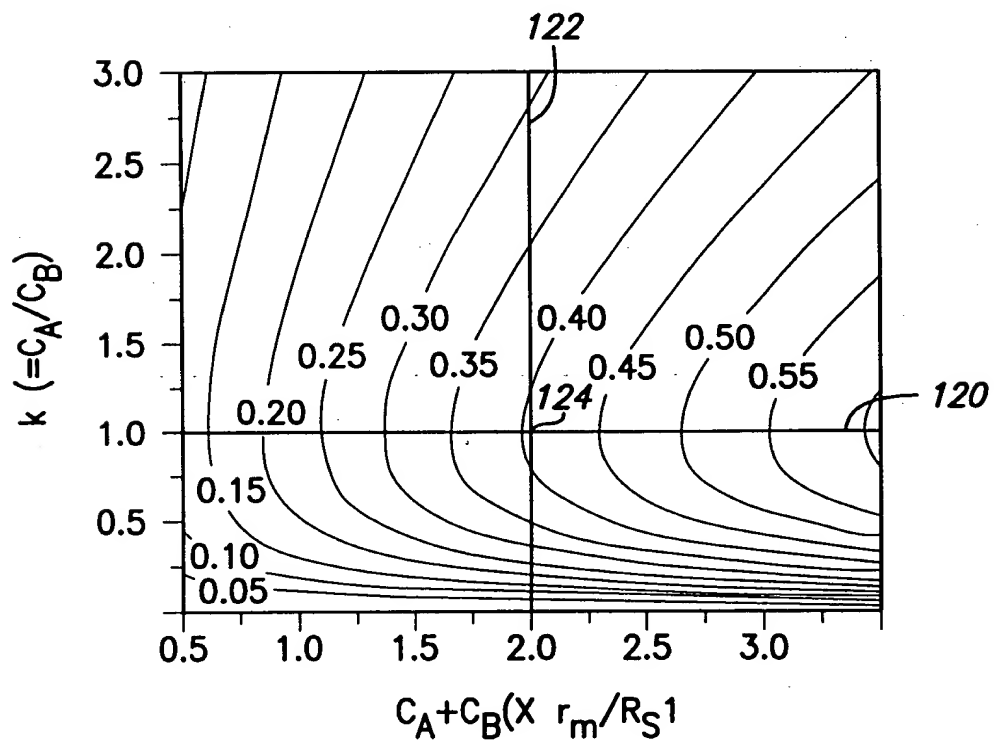


FIG. 14

FIG. 15

T_m 2 ms	$d_1^{opt}[ms]$		R_S [ohms]			
	$d_2^{opt}[ms]$		30	50	70	90
	$C_A(=C_B)[\mu F]$	30	1.286	1.508	1.640	1.729
			0.422	0.647	0.842	1.014
		60	1.581	1.763	1.862	1.923
			0.747	1.094	1.377	1.618
		90	1.729	1.879	1.956	2.003
			1.014	1.441	1.778	2.058

FIG. 16

T_m 3 ms	$d_1^{opt}[ms]$		R_S [ohms]			
	$d_2^{opt}[ms]$		30	50	70	90
	$C_A(=C_B)[\mu F]$	30	1.655	2.000	2.219	2.372
			0.443	0.693	0.918	1.121
		60	2.120	2.433	2.612	2.728
			0.808	1.216	1.562	1.863
		90	2.372	2.645	2.792	2.885
			1.121	1.641	2.066	2.427

FIG. 17

T_m 4 ms	$d_1^{opt}[ms]$		R_S [ohms]			
	$d_2^{opt}[ms]$		30	50	70	90
	$C_A(=C_B)[\mu F]$	30	1.950	2.408	2.710	2.928
			0.454	0.720	0.963	1.188
		60	2.573	3.016	3.280	3.458
			0.844	1.294	1.683	2.029
		90	2.928	3.331	3.557	3.704
			1.188	1.773	2.264	2.689

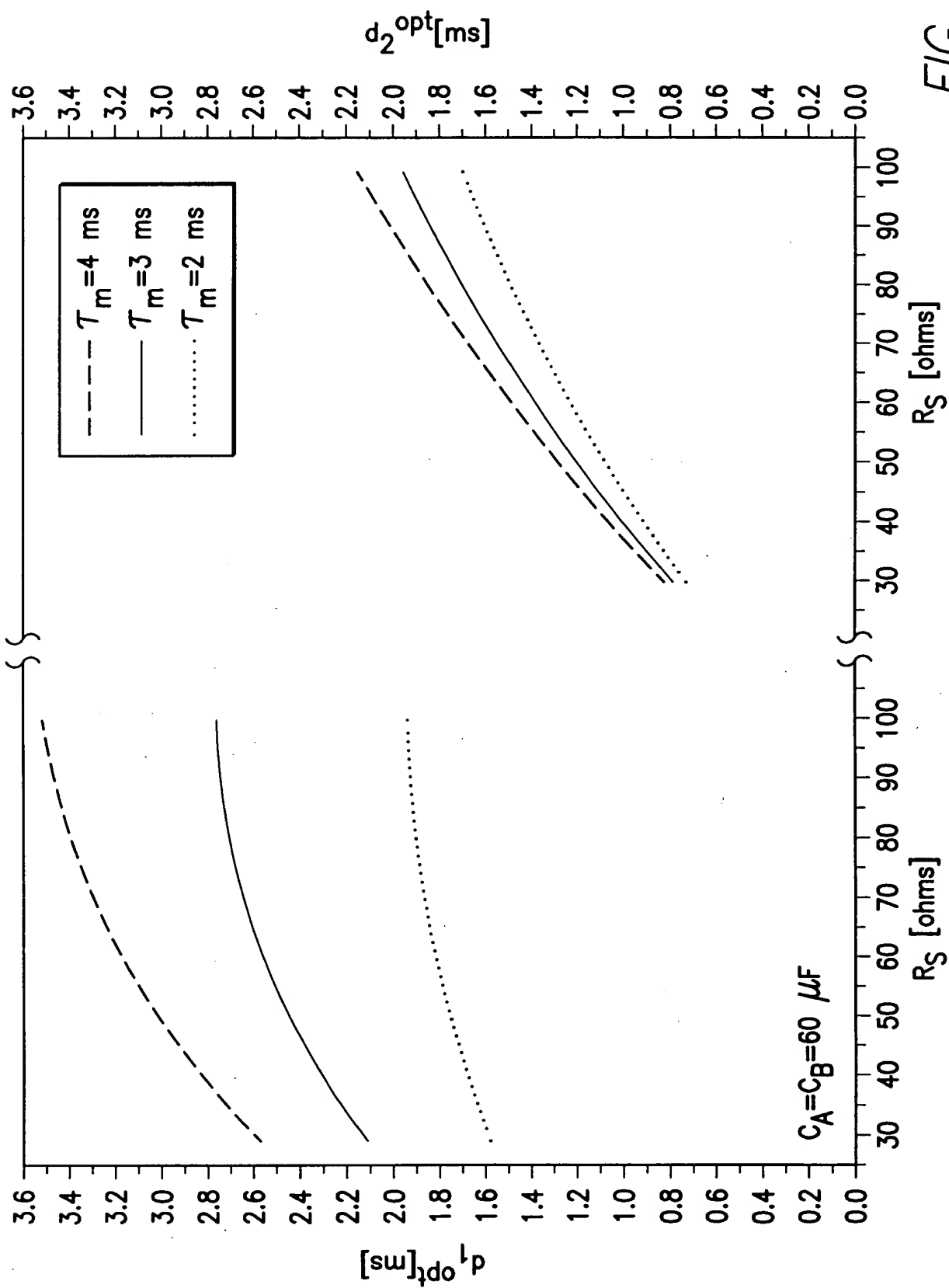


FIG. 18

FIG. 19

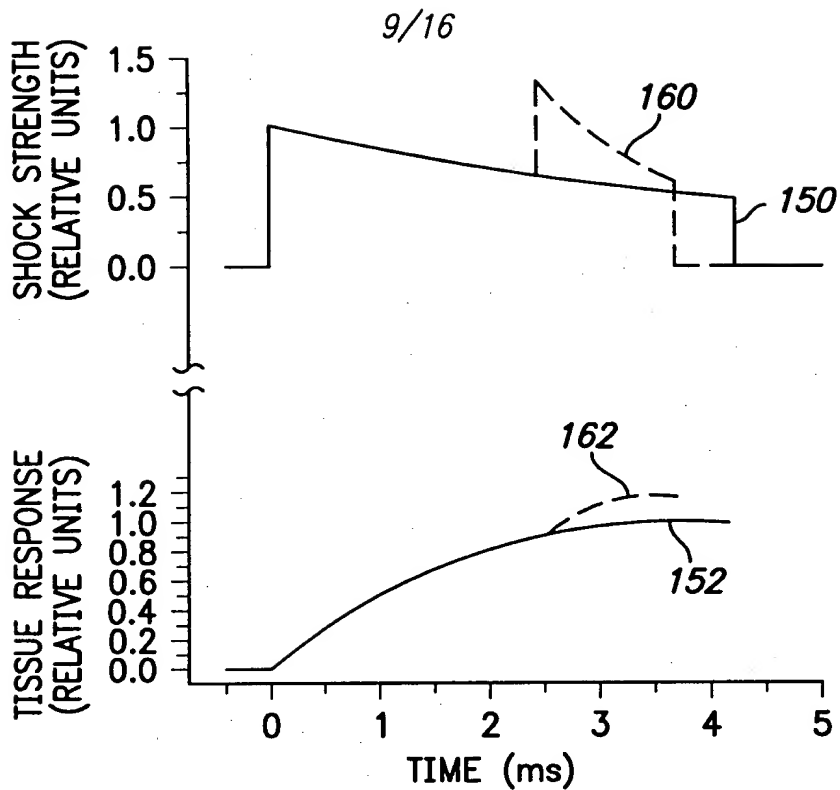


FIG. 19

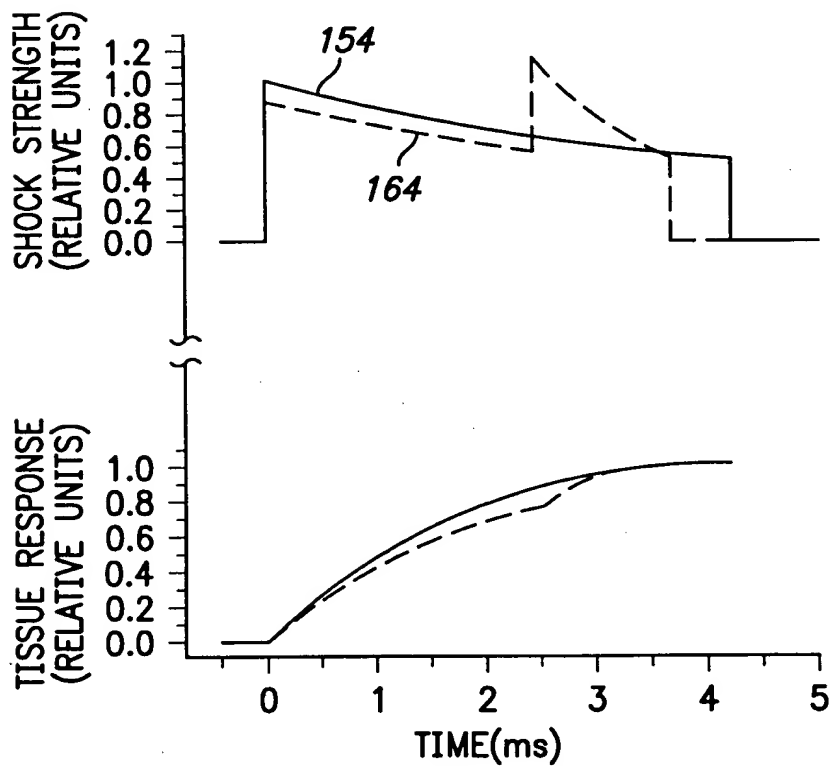


FIG. 20

10/16

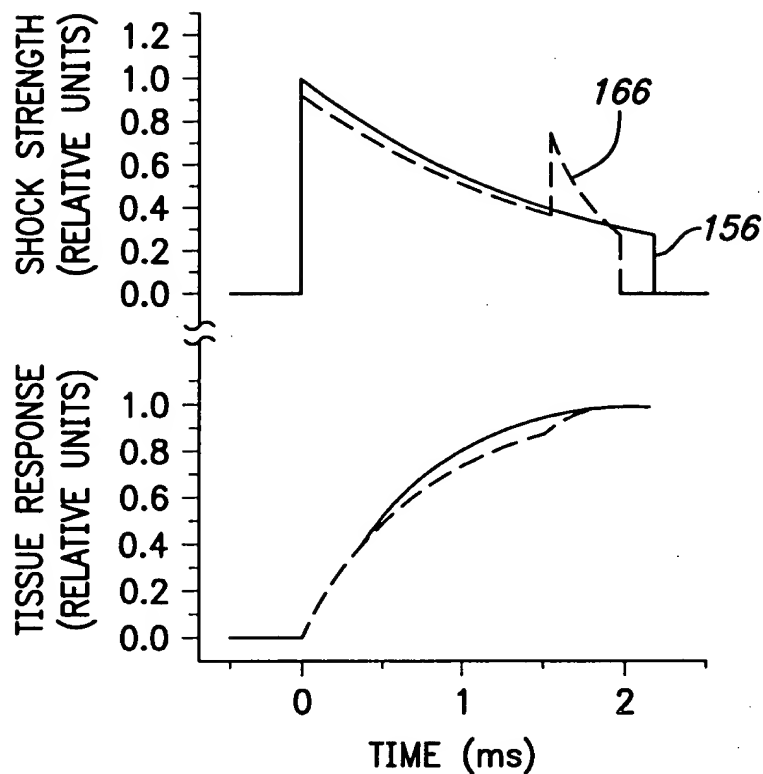


FIG. 21

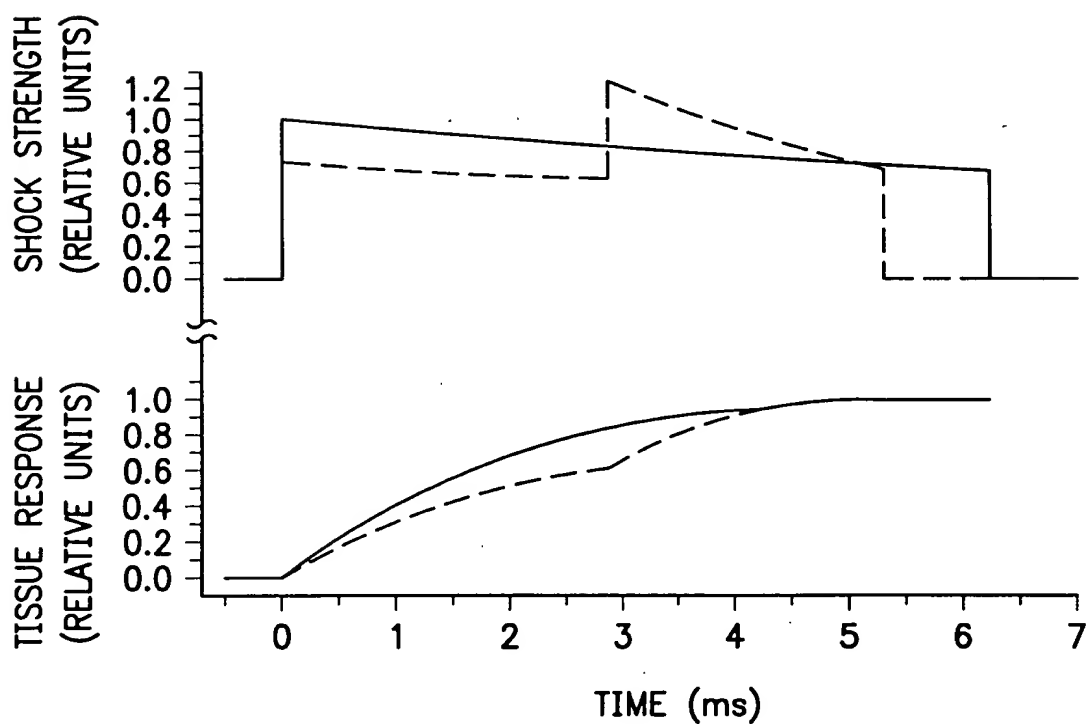


FIG. 22

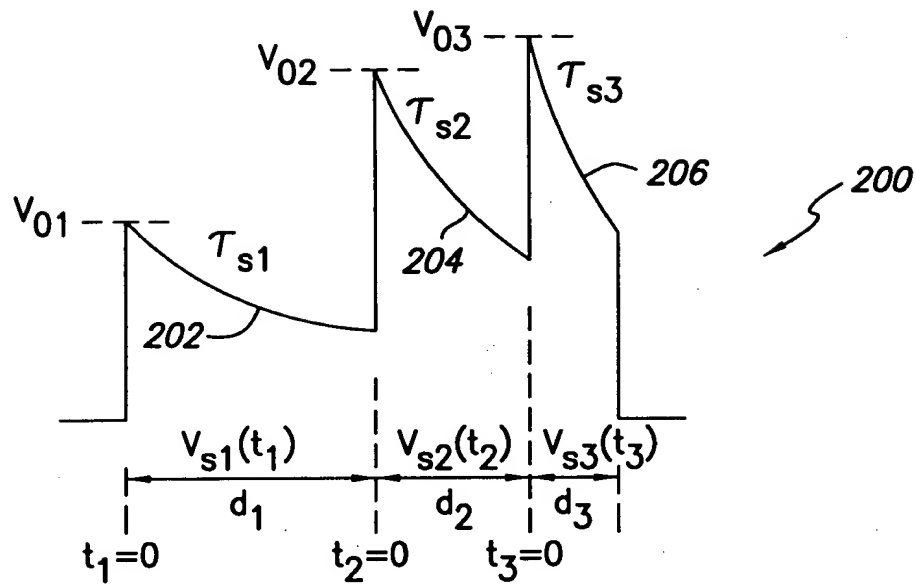


FIG. 23

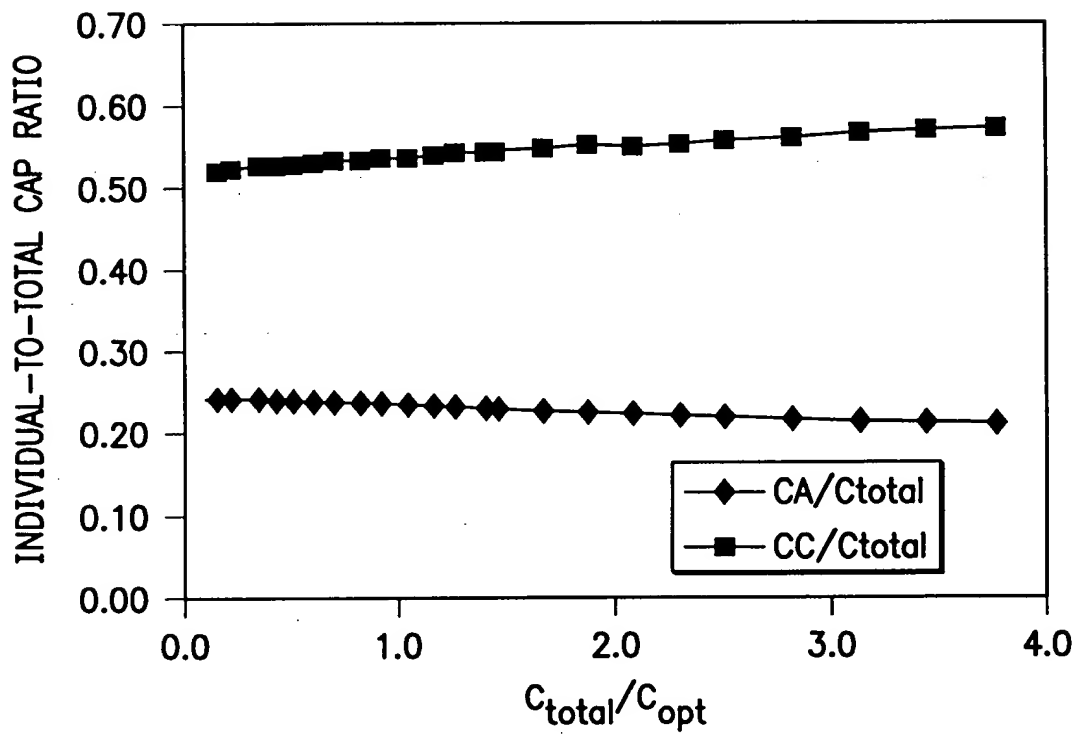


FIG. 27

12/16

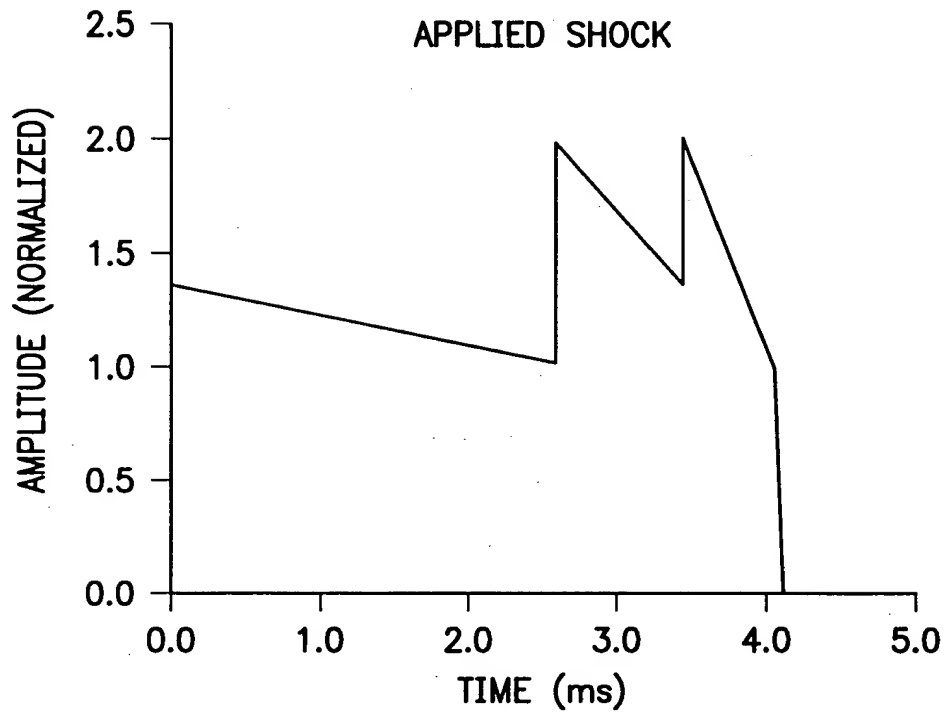


FIG. 24

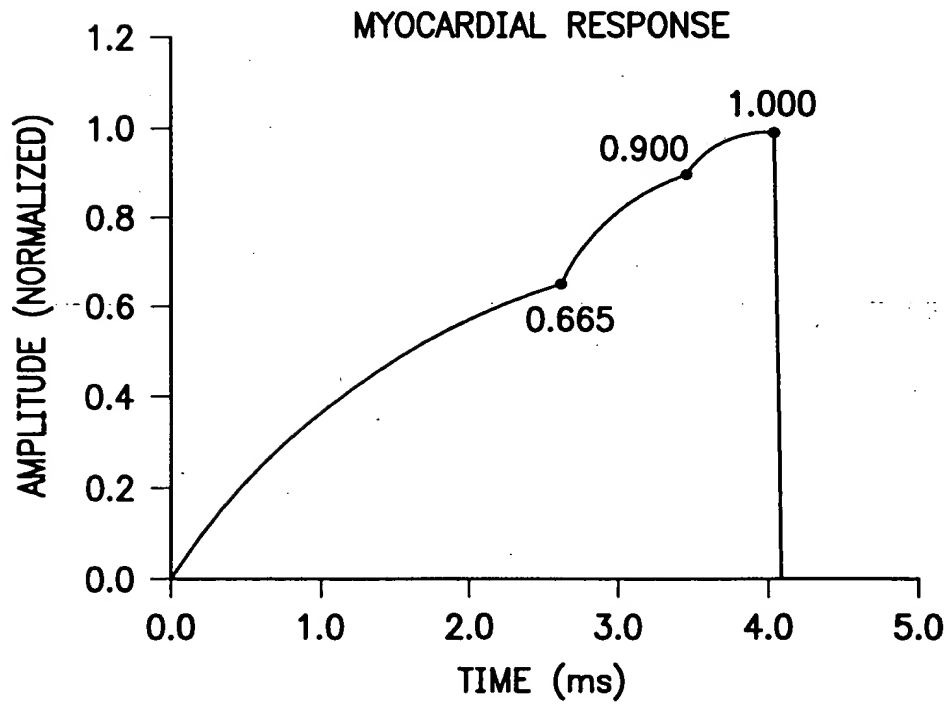
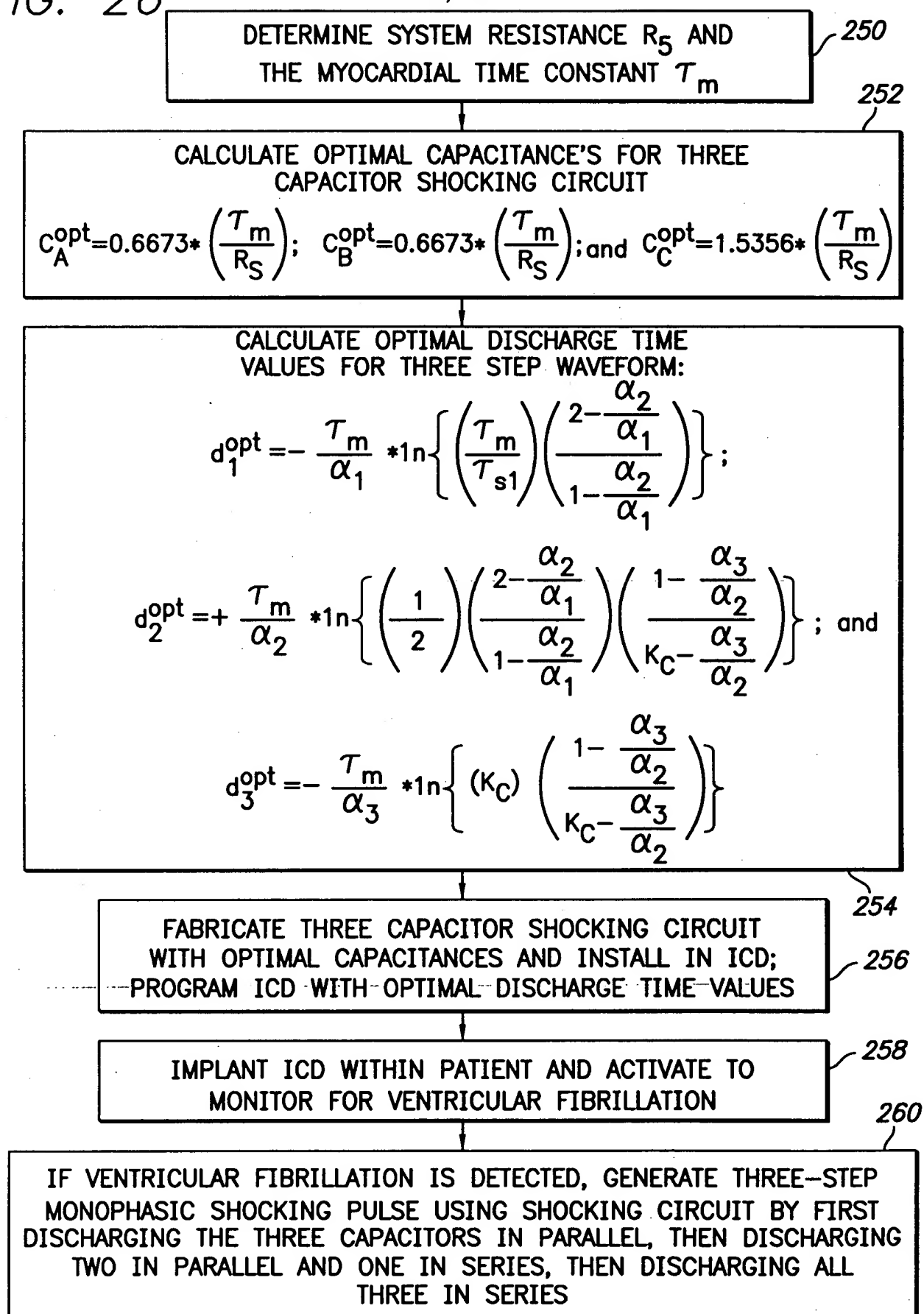


FIG. 25

FIG. 26

13/16



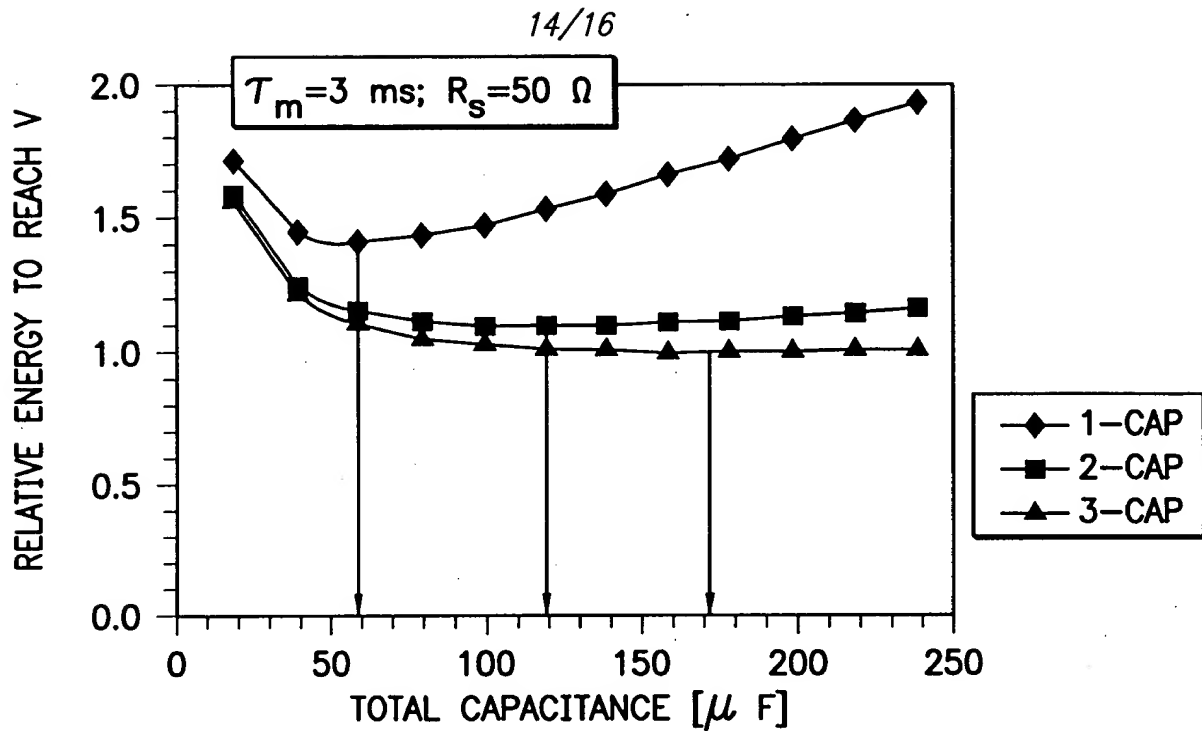


FIG. 28

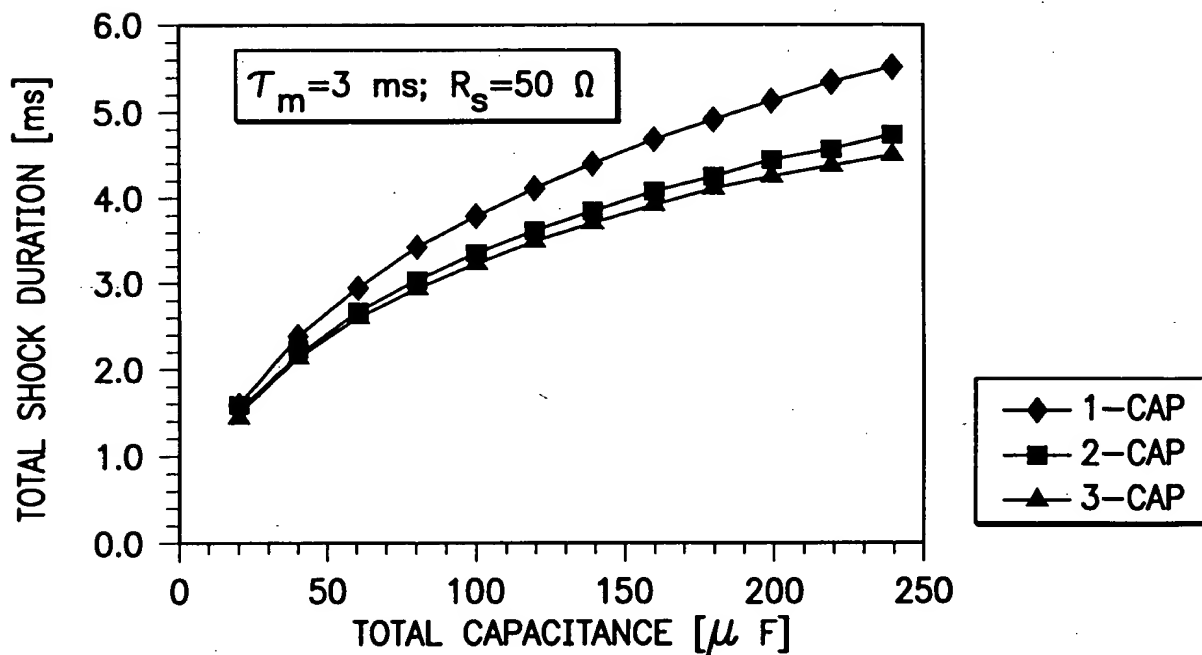


FIG. 29

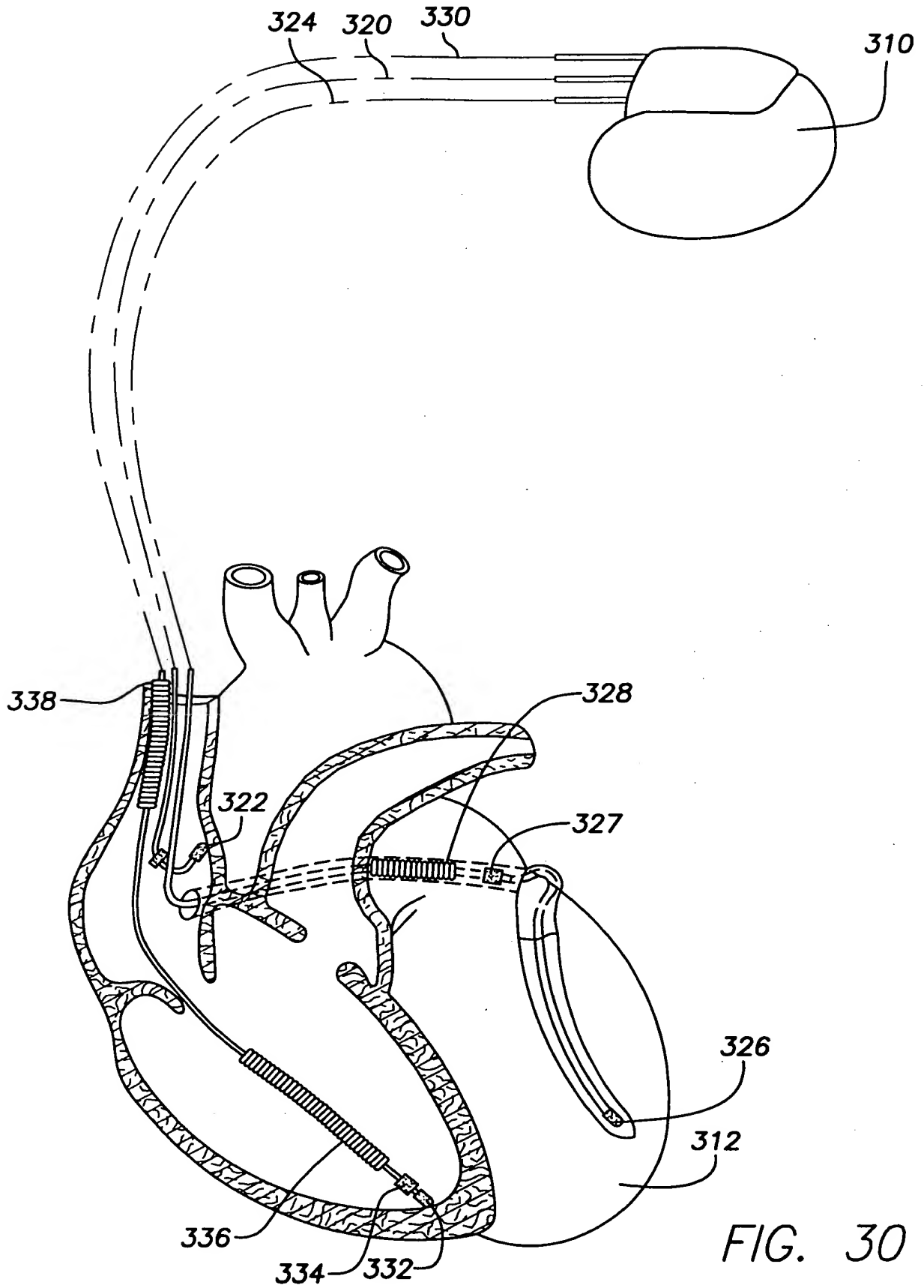


FIG. 30

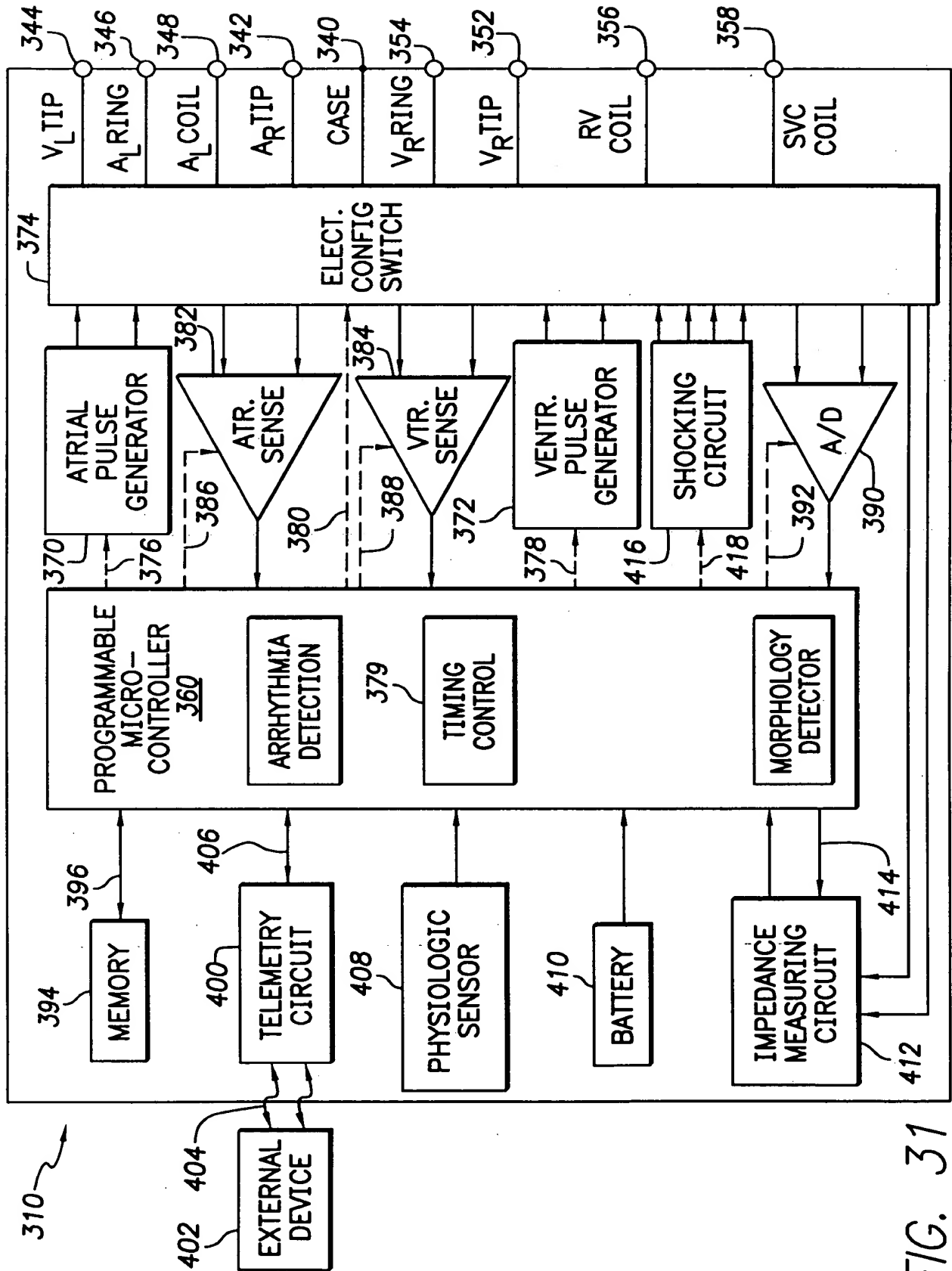


FIG. 31